



Organometálicos 2

Roberto B. Faria

faria@iq.ufrj.br

www.iq.ufrj.br/~faria

Universidade Federal do Rio de Janeiro

Aula 11 -Organometálicos

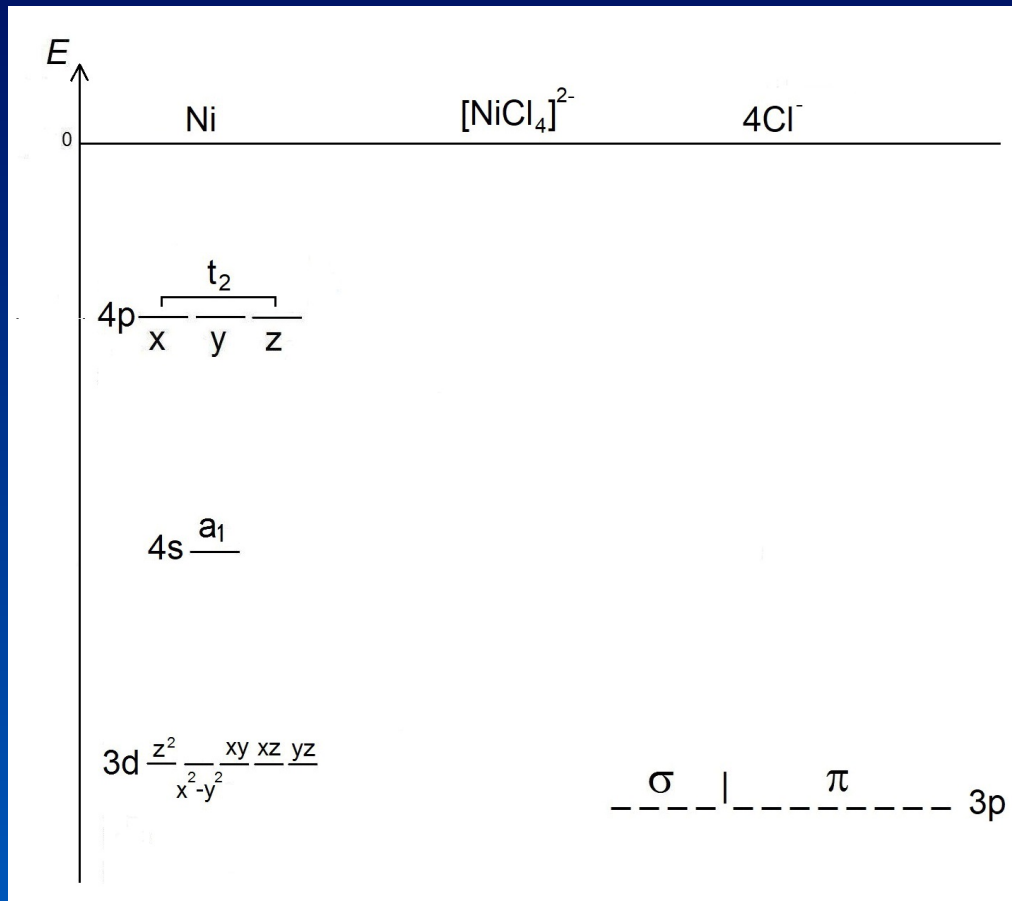
Simetria T_d
 $[NiCl_4]^{2-} \Leftrightarrow [Ni(CO)_4]$

$[\text{NiCl}_4]^{2-}$ - T_d

T_d	E	$8C_3$	$3C_2$	$6S_4$	$6\sigma_d$
A_1	1	1	1	1	1
A_2	1	1	1	-1	-1
E	2	-1	2	0	0
T_1	3	0	-1	1	-1
T_2	3	0	-1	-1	1

$[\text{NiCl}_4]^{2-}$ - T_d

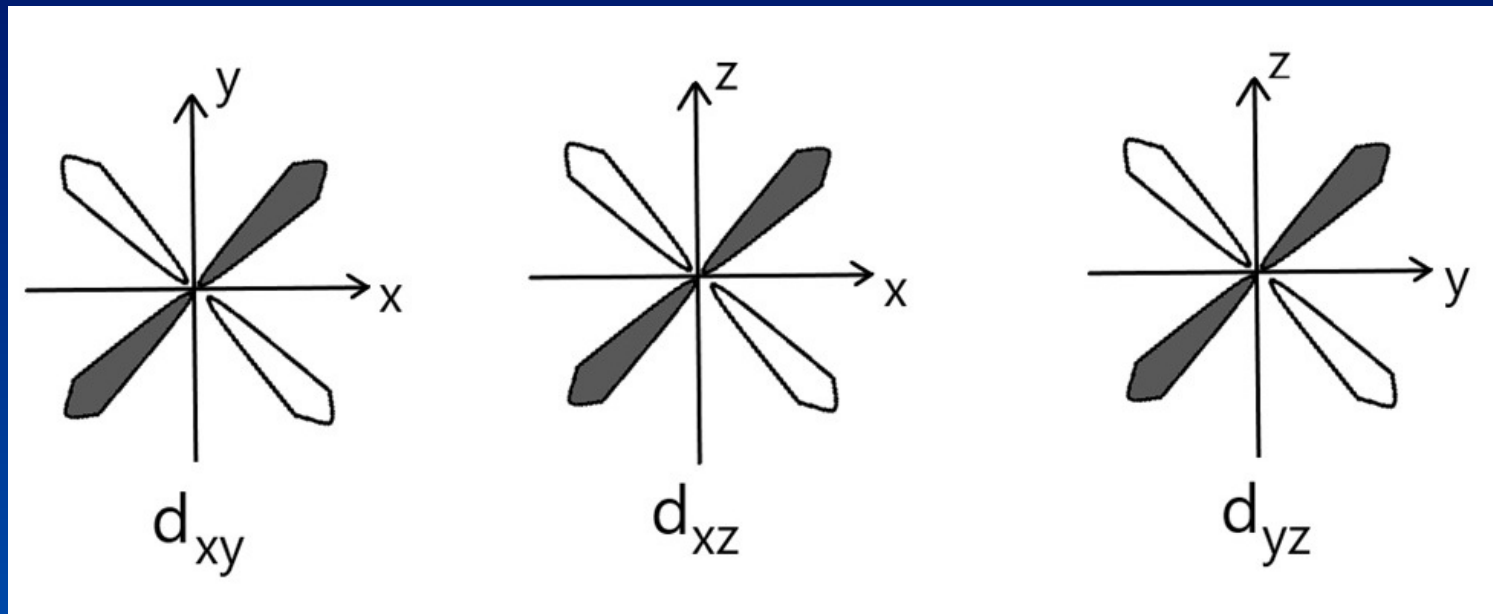
Diagrama de energia dos orbitais moleculares



Aproveitando os resultados do metano, T_d

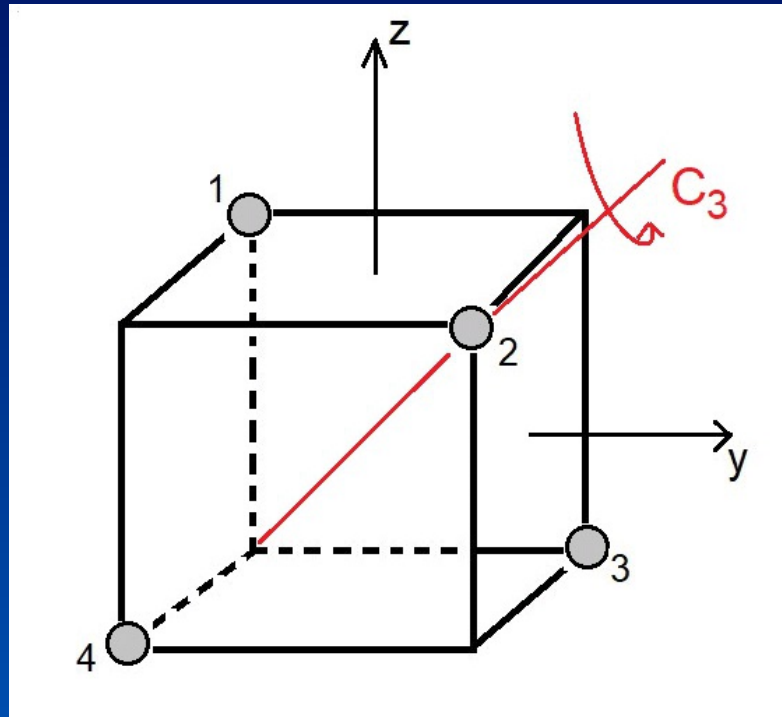
$[\text{NiCl}_4]^{2-}$ - T_d

Classificando os orbitais 3d (xy,xz,yz) do Ni - INSEPARÁVEIS



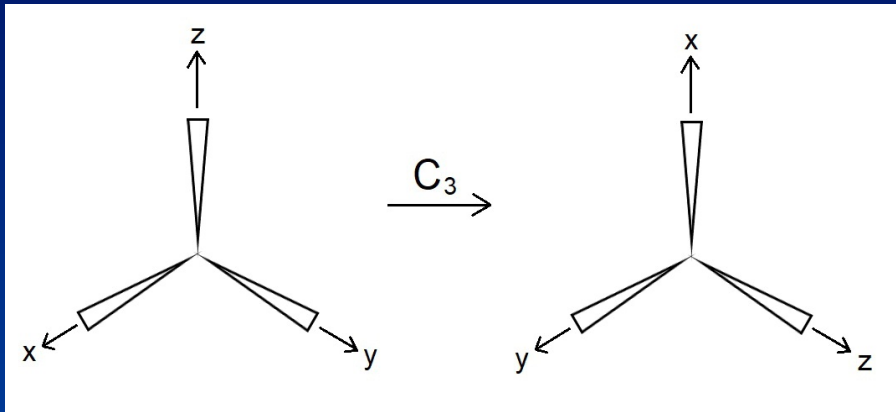
$[\text{NiCl}_4]^{2-}$ - T_d

Classificando os orbitais 3d (xy,xz,yz) do Ni - INSEPARÁVEIS



$[\text{NiCl}_4]^{2-}$ - T_d

Classificando os orbitais 3d (xy, xz, yz) do Ni - INSEPARÁVEIS



$$x \xrightarrow{-C_3} z$$

$$y \xrightarrow{-C_3} x$$

$$z \xrightarrow{-C_3} y$$

[NiCl₄]²⁻ - T_d

Classificando os orbitais 3d (xy,xz,yz) do Ni - INSEPARÁVEIS

$$\begin{array}{l} x \rightarrow z \\ y \rightarrow x \\ z \rightarrow y \end{array}$$

$$\begin{array}{l} d_{xy} \rightarrow d_{zx} = d_{xz} \\ d_{xz} \rightarrow d_{zy} = d_{yz} \\ d_{yz} \rightarrow d_{xy} \end{array}$$

$$\begin{matrix} d_{xy} & d_{xz} & d_{yz} \\ d_{xy} & 1 & 0 \\ d_{xz} & 0 & 1 \\ d_{yz} & 0 & 0 \end{matrix}$$

$$C_3$$

$$\begin{matrix} d_{xy} & d_{xz} & d_{yz} \\ d_{xy} & 0 & 1 \\ d_{xz} & 0 & 0 \\ d_{yz} & 1 & 0 \end{matrix}$$

$$\chi = 0$$

$[\text{NiCl}_4]^{2-} - \text{T}_d$

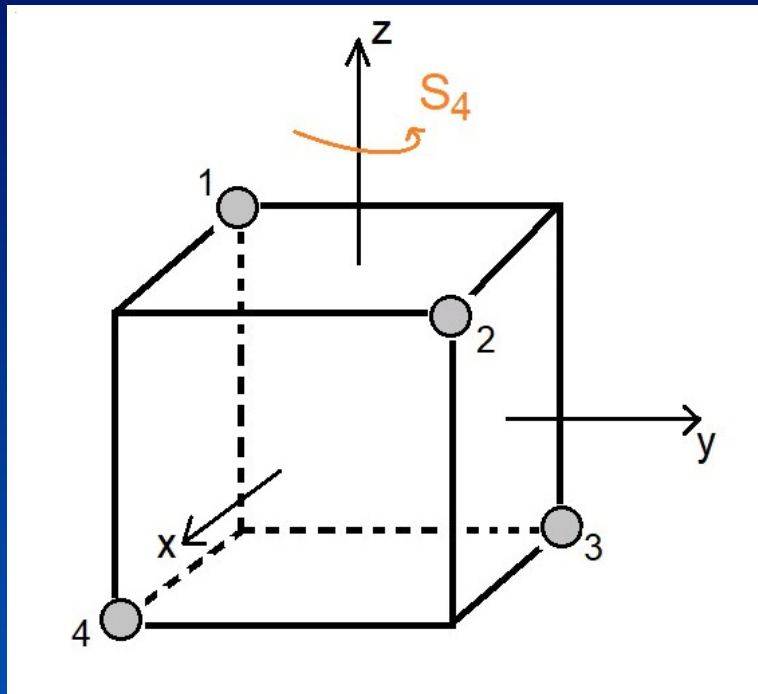
Classificando os orbitais 3d (xy,xz,yz) do Ni -INSEPARÁVEIS

T_d	E	8C_3	3C_2	6S_4	$6\sigma_d$
A_1	1	1	1	1	1
A_2	1	1	1	-1	-1
E	2	-1	2	0	0
T_1	3	0	-1	1	-1
T_2	3	0	-1	-1	1

$$(\text{d}_{\text{xy},\text{xz},\text{yz}}) \quad 3 \quad 0$$

$[\text{NiCl}_4]^{2-}$ - T_d

Classificando os orbitais 3d (xy, xz, yz) do Ni - INSEPARÁVEIS



$$\begin{aligned} x &- {}^{(z)}S_4 \rightarrow y \\ y &- {}^{(z)}S_4 \rightarrow -x \\ z &- {}^{(z)}S_4 \rightarrow -z \end{aligned}$$

$[\text{NiCl}_4]^{2-}$ - T_d

Classificando os orbitais 3d (xy,xz,yz) do Ni - INSEPARÁVEIS

$$\begin{array}{l} x - {}^{(z)}S_4 \rightarrow y \\ y - {}^{(z)}S_4 \rightarrow -x \\ z - {}^{(z)}S_4 \rightarrow -z \end{array}$$

$$\begin{array}{l} d_{xy} - {}^{(z)}S_4 \rightarrow d_{y(-x)} = -d_{xy} \\ d_{xz} - {}^{(z)}S_4 \rightarrow d_{y(-z)} = -d_{yz} \\ d_{yz} - {}^{(z)}S_4 \rightarrow d_{(-x)(-z)} = d_{xz} \end{array}$$

$$\begin{matrix} d_{xy} & d_{xz} & d_{yz} \\ d_{xy} & 1 & 0 & 0 \\ d_{xz} & 0 & 1 & 0 \\ d_{yz} & 0 & 0 & 1 \end{matrix} \rightarrow {}^{(z)}S_4$$

$$\begin{matrix} d_{xy} & d_{xz} & d_{yz} \\ d_{xy} & -1 & 0 & 0 \\ d_{xz} & 0 & 0 & -1 \\ d_{yz} & 0 & 1 & 0 \end{matrix}$$

$$\chi = -1$$

$[\text{NiCl}_4]^{2-} - \text{T}_d$

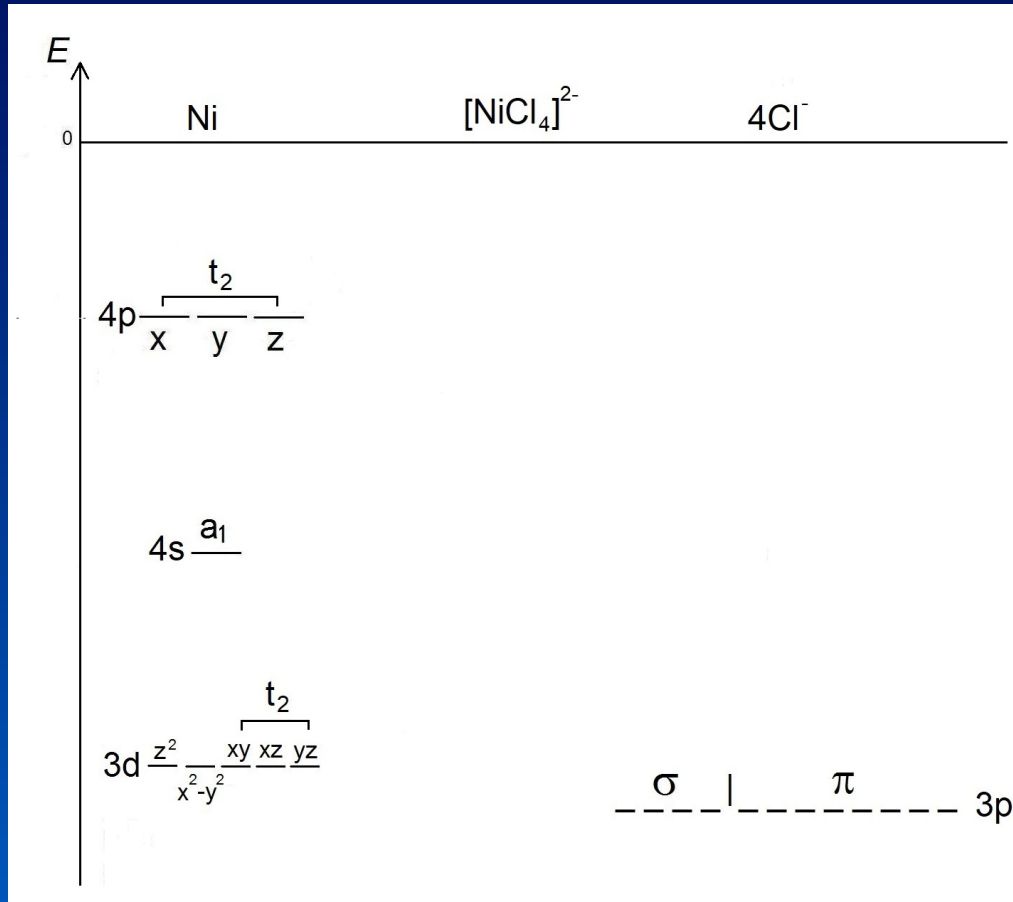
Classificando os orbitais 3d (xy,xz,yz) do Ni -INSEPARÁVEIS

T_d	E	8C_3	3C_2	6S_4	$6\sigma_d$
A_1	1	1	1	1	1
A_2	1	1	1	-1	-1
E	2	-1	2	0	0
T_1	3	0	-1	1	-1
T_2	3	0	-1	-1	1

$$\overline{(\text{d}_{\text{xy},\text{xz},\text{yz}}) \quad 3 \quad 0 \quad -1 \quad \text{T}_2}$$

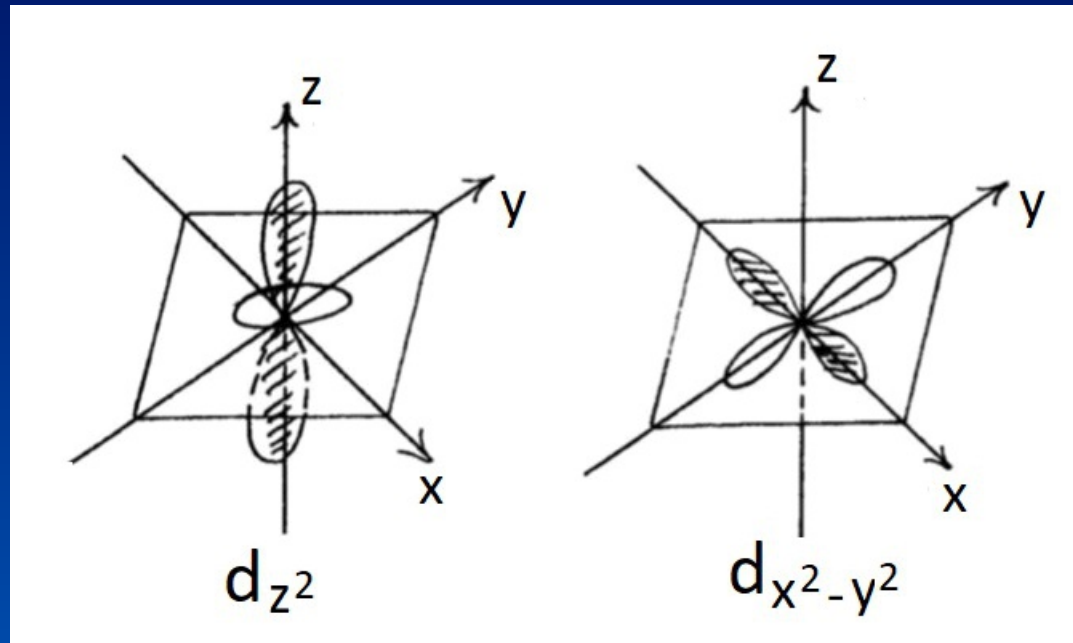
$[\text{NiCl}_4]^{2-}$ - T_d

Diagrama de energia dos orbitais moleculares



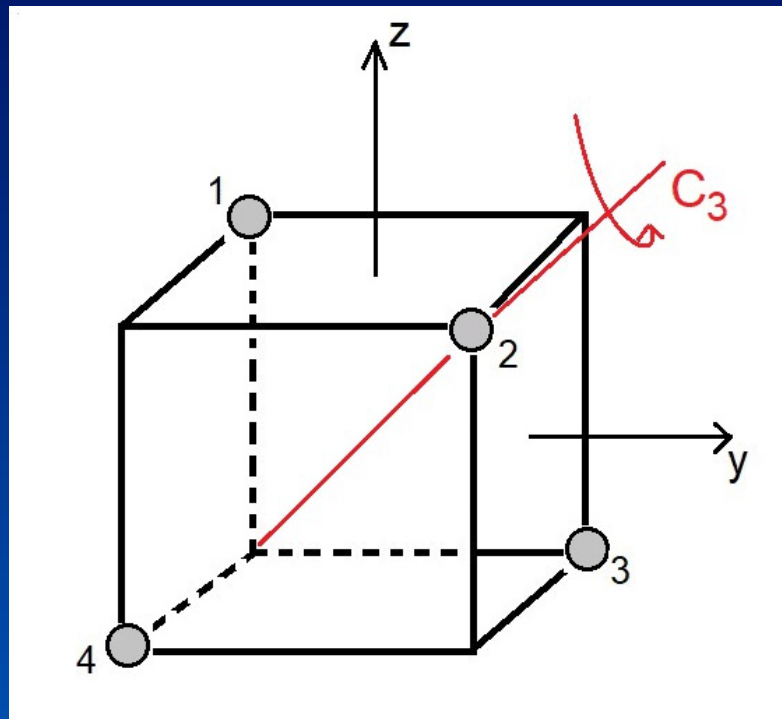
$[\text{NiCl}_4]^{2-}$ - T_d

Classificando os orbitais 3d (z^2 , x^2-y^2) do Ni - INSEPARÁVEIS



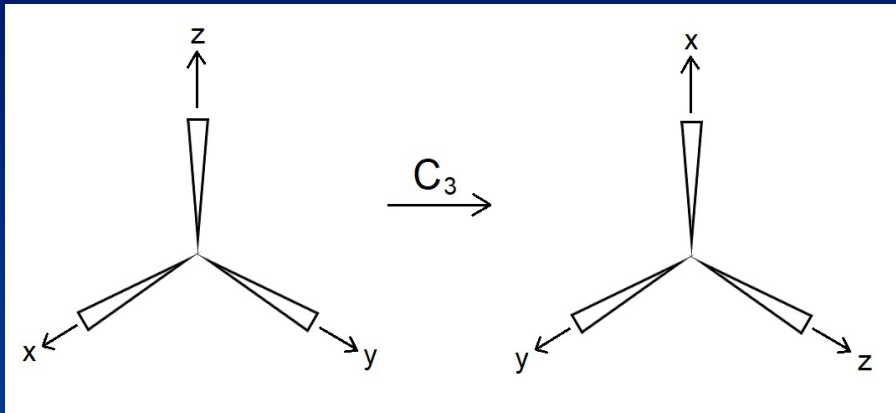
$[\text{NiCl}_4]^{2-}$ - T_d

Classificando os orbitais $3d$ (z^2, x^2-y^2) do Ni - INSEPARÁVEIS



$[\text{NiCl}_4]^{2-}$ - T_d

Classificando os orbitais $3d$ (z^2, x^2-y^2) do Ni - INSEPARÁVEIS



$$x \xrightarrow{-C_3} y$$

$$y \xrightarrow{-C_3} z$$

$$z \xrightarrow{-C_3} x$$

$[\text{NiCl}_4]^{2-}$ - T_d

Classificando os orbitais 3d (z^2, x^2-y^2) do Ni - INSEPARÁVEIS

$$\begin{array}{l} x \rightarrow C_3 \\ y \rightarrow C_3 \\ z \rightarrow C_3 \end{array}$$

$$\begin{array}{ll} d_{z^2} \rightarrow C_3 & d_{x^2} \\ d_{x^2-y^2} \rightarrow C_3 & d_{y^2-z^2} \end{array}$$

Na verdade, a expressão do orbital d_{z^2} é mais complexa:

$$\begin{array}{ll} d_{z^2} = (1/\sqrt{3})(2z^2 - x^2 - y^2) & C_3 \rightarrow d_{x^2} = (1/\sqrt{3})(2x^2 - y^2 - z^2) \\ d_{x^2-y^2} = x^2 - y^2 & C_3 \rightarrow d_{y^2-z^2} = y^2 - z^2 \end{array}$$

$[\text{NiCl}_4]^{2-} - \text{T}_\text{d}$

Classificando os orbitais 3d (z^2, x^2-y^2) do Ni - INSEPARÁVEIS

Pode-se mostrar que os novos orbitais d_{x^2} e $d_{y^2-z^2}$ são uma combinação linear dos orbitais d_{z^2} e $d_{x^2-y^2}$.

$$d_{x^2} = (1/\sqrt{3})(2x^2 - y^2 - z^2) = C_{11} (1/\sqrt{3})(2z^2 - x^2 - y^2) + C_{12}(x^2 - y^2)$$

$$d_{y^2-z^2} = y^2 - z^2 = C_{21} (1/\sqrt{3})(2z^2 - x^2 - y^2) + C_{22}(x^2 - y^2)$$

Colecionando-se os termos de z^2 da primeira equação, obtém-se o valor de C_{11} :

$$-(1/\sqrt{3}) = C_{11} (1/\sqrt{3}) \times 2$$

$$C_{11} = -1/2$$

$[\text{NiCl}_4]^{2-} - \mathbf{T_d}$

Classificando os orbitais 3d (z^2, x^2-y^2) do Ni - INSEPARÁVEIS

$$d_{x^2} = (1/\sqrt{3})(2x^2 - y^2 - z^2) = C_{11} (1/\sqrt{3})(2z^2 - x^2 - y^2) + C_{12}(x^2 - y^2)$$

$$d_{y^2-z^2} = y^2 - z^2 = C_{21} (1/\sqrt{3})(2z^2 - x^2 - y^2) + C_{22}(x^2 - y^2)$$

Colecionando-se os termos de y^2 da primeira equação,
obtém-se o valor de C_{12} :

$$-(1/\sqrt{3}) = -C_{11} (1/\sqrt{3}) - C_{12}$$

$$-(1/\sqrt{3}) = -(-1/2)(1/\sqrt{3}) - C_{12}$$

$$C_{12} = (1/\sqrt{3}) + (1/2)(1/\sqrt{3}) = (\sqrt{3})/2$$

[NiCl₄]²⁻ - T_d

Classificando os orbitais 3d (z^2, x^2-y^2) do Ni - INSEPARÁVEIS

$$d_{x^2} = (1/\sqrt{3})(2x^2 - y^2 - z^2) = C_{11} (1/\sqrt{3})(2z^2 - x^2 - y^2) + C_{12}(x^2 - y^2)$$

$$d_{y^2-z^2} = y^2 - z^2 = C_{21} (1/\sqrt{3})(2z^2 - x^2 - y^2) + C_{22}(x^2 - y^2)$$

Colecionando-se os termos de z^2 da segunda equação, obtém-se o valor de C_{21} :

$$-1 = C_{21} (2/\sqrt{3})$$

$$C_{21} = -(\sqrt{3})/2$$

$[\text{NiCl}_4]^{2-} - \text{T}_d$

Classificando os orbitais 3d (z^2, x^2-y^2) do Ni - INSEPARÁVEIS

$$d_{x^2} = (1/\sqrt{3})(2x^2 - y^2 - z^2) = C_{11} (1/\sqrt{3})(2z^2 - x^2 - y^2) + C_{12}(x^2 - y^2)$$

$$d_{y^2-z^2} = y^2 - z^2 = C_{21} (1/\sqrt{3})(2z^2 - x^2 - y^2) + C_{22}(x^2 - y^2)$$

Colecionando-se os termos de y^2 da segunda equação, obtém-se o valor de C_{22} :

$$1 = -C_{21} (1/\sqrt{3}) - C_{22}$$

$$1 = (\sqrt{3}/2)(1/\sqrt{3}) - C_{22}$$

$$C_{22} = -1 + 1/2 = -1/2$$

$[\text{NiCl}_4]^{2-} - \text{T}_d$

Classificando os orbitais 3d (z^2, x^2-y^2) do Ni - INSEPARÁVEIS

$$\begin{matrix} & d_{z^2} & d_{x^2-y^2} \\ \begin{matrix} d_{z^2} \\ d_{x^2-y^2} \end{matrix} & \begin{matrix} 1 \\ 0 \end{matrix} & \begin{matrix} 0 \\ 1 \end{matrix} \end{matrix} \rightarrow \begin{matrix} C_3 \\ \rightarrow \end{matrix} \begin{matrix} d_{z^2} & d_{z^2} \\ d_{x^2-y^2} & d_{x^2-y^2} \end{matrix} = \begin{matrix} -1/2 & (\sqrt{3})/2 \\ -(\sqrt{3})/2 & -1/2 \end{matrix}$$

$$\chi = -1$$

[NiCl₄]²⁻ - T_d

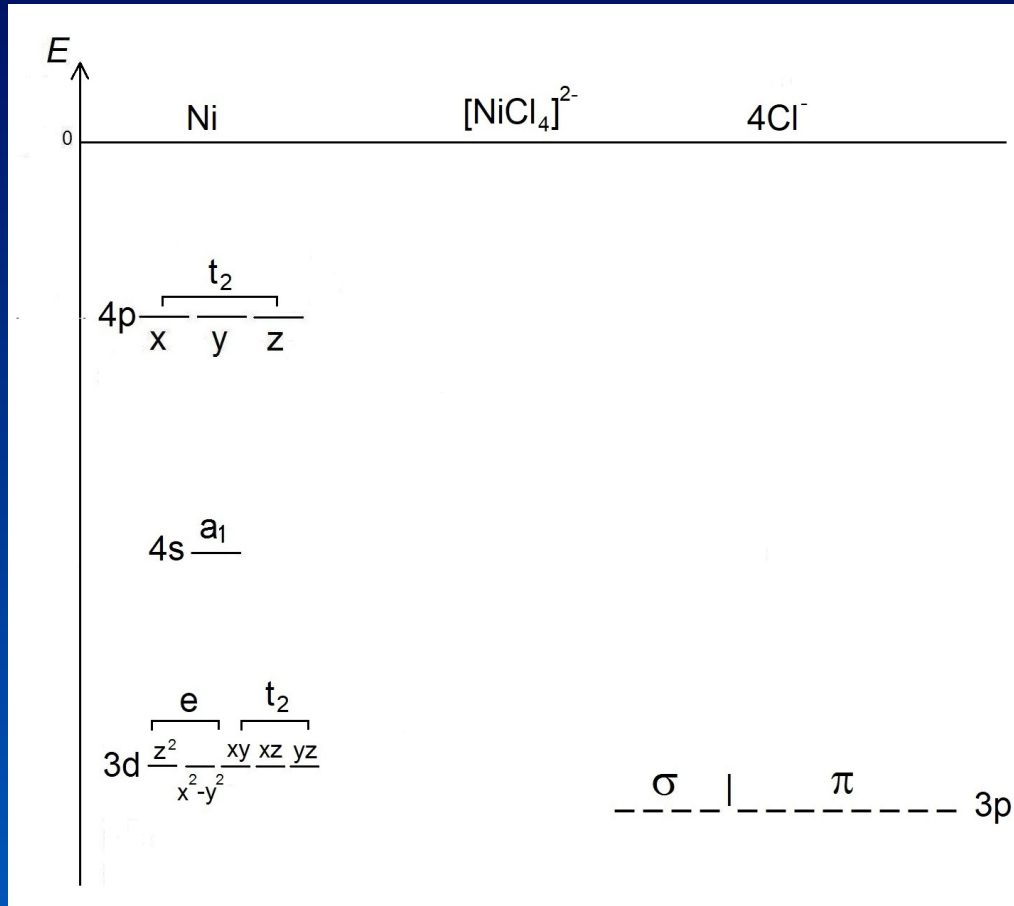
Classificando os orbitais 3d (z^2, x^2-y^2) do Ni -INSEPARÁVEIS

T _d	E	8C ₃	3C ₂	6S ₄	6σ _d
A ₁	1	1	1	1	1
A ₂	1	1	1	-1	-1
E	2	-1	2	0	0
T ₁	3	0	-1	1	-1
T ₂	3	0	-1	-1	1

$$(d_{z2,x2-y2}) \quad 2 \quad -1 \qquad \qquad \qquad E$$

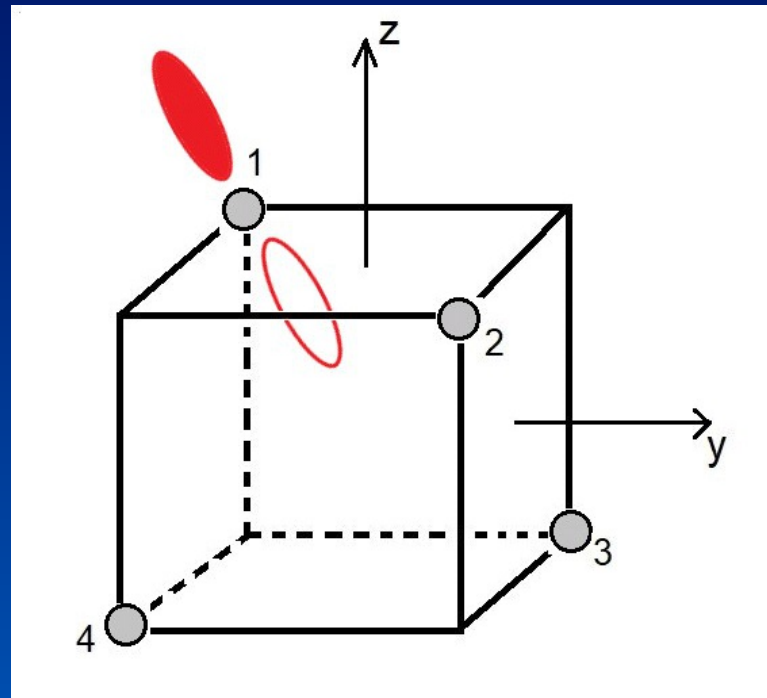
$[\text{NiCl}_4]^{2-}$ - T_d

Diagrama de energia dos orbitais moleculares



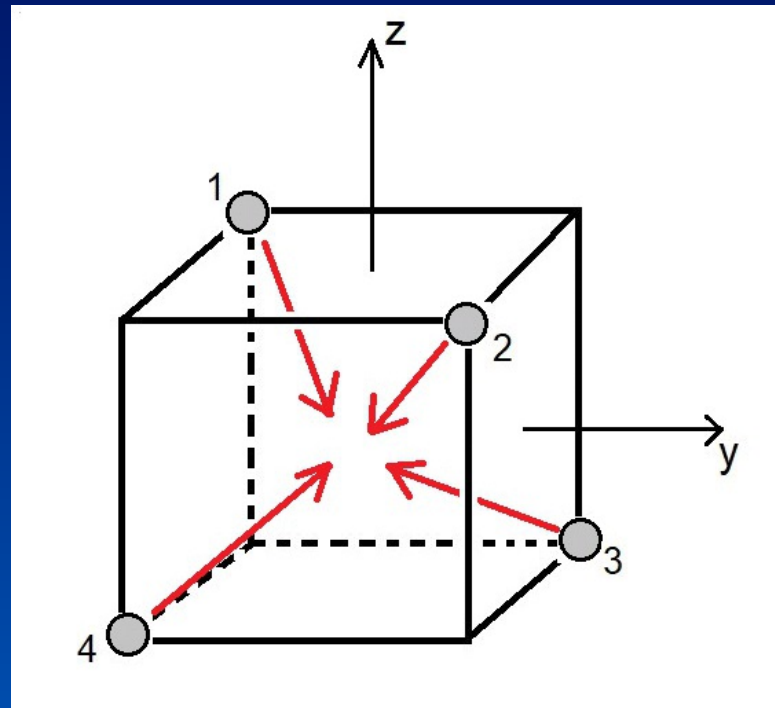
$[\text{NiCl}_4]^{2-}$ - T_d

Classificando os orbitais $p\sigma$ dos ligantes cloreto -INSEPARÁVEIS



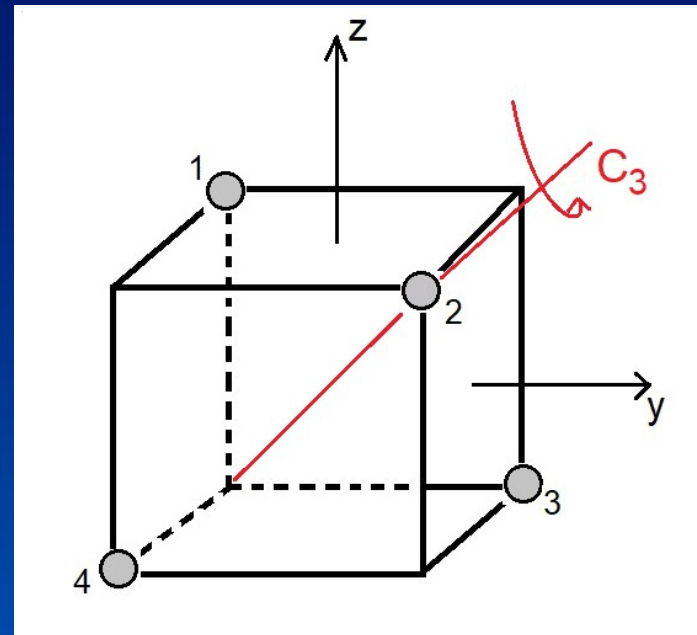
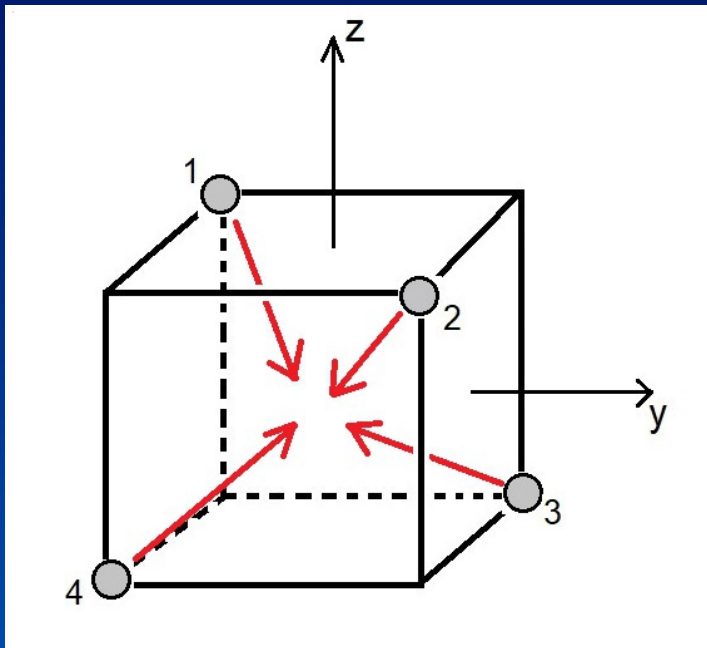
$[\text{NiCl}_4]^{2-}$ - T_d

Classificando os orbitais $p\sigma$ dos ligantes cloreto -INSEPARÁVEIS



$[\text{NiCl}_4]^{2-}$ - T_d

Classificando os orbitais $p\sigma$ dos ligantes cloreto -INSEPARÁVEIS



$[\text{NiCl}_4]^{2-} - \text{T}_d$

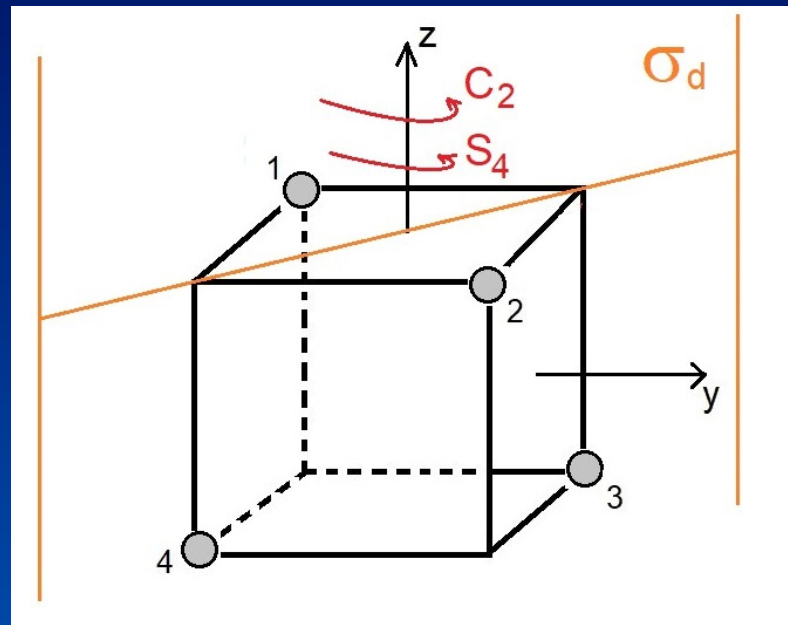
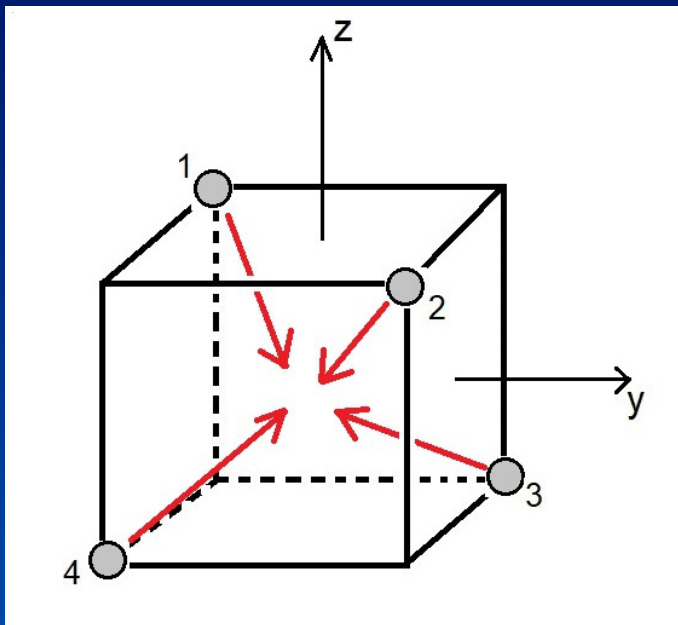
Classificando os orbitais $p\sigma$ dos ligantes cloreto -INSEPARÁVEIS

T_d	E	$8C_3$	$3C_2$	$6S_4$	$6\sigma_d$
A_1	1	1	1	1	1
A_2	1	1	1	-1	-1
E	2	-1	2	0	0
T_1	3	0	-1	1	-1
T_2	3	0	-1	-1	1

$p\sigma(1,2,3,4)$ 4 1

$[\text{NiCl}_4]^{2-}$ - T_d

Classificando os orbitais $p\sigma$ dos ligantes cloreto -INSEPARÁVEIS



$[\text{NiCl}_4]^{2-} - \text{T}_d$

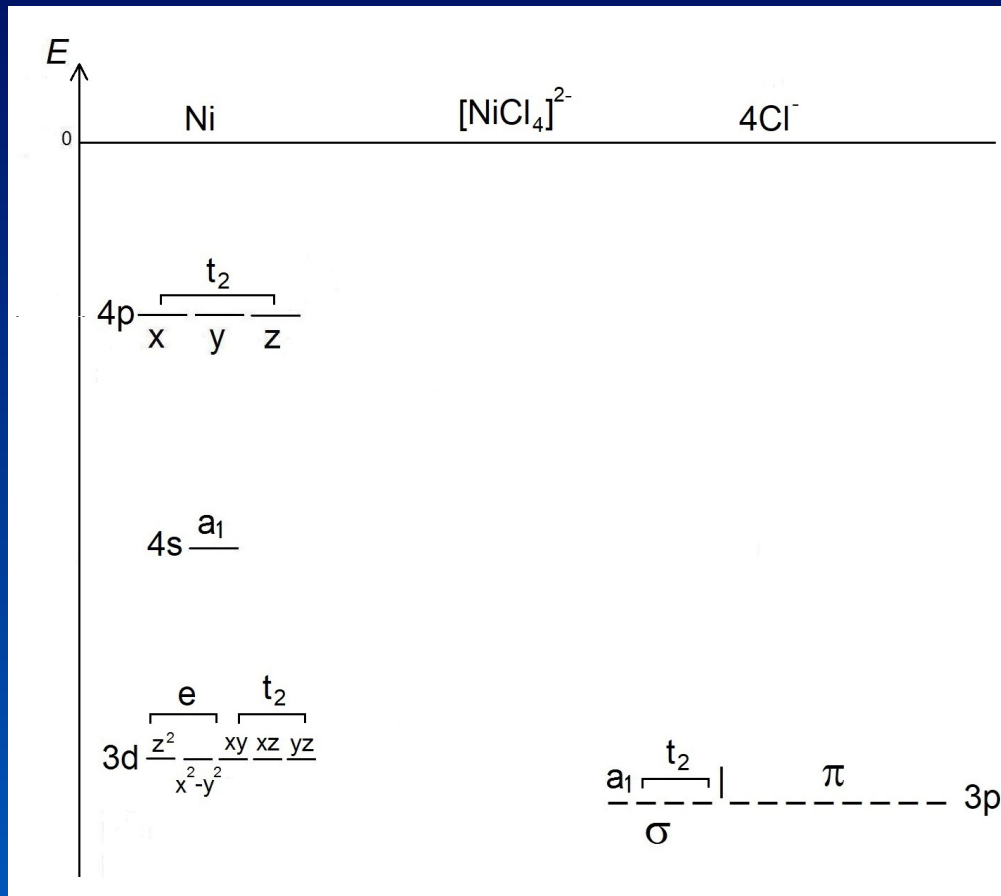
Classificando os orbitais $p\sigma$ dos ligantes cloreto -INSEPARÁVEIS

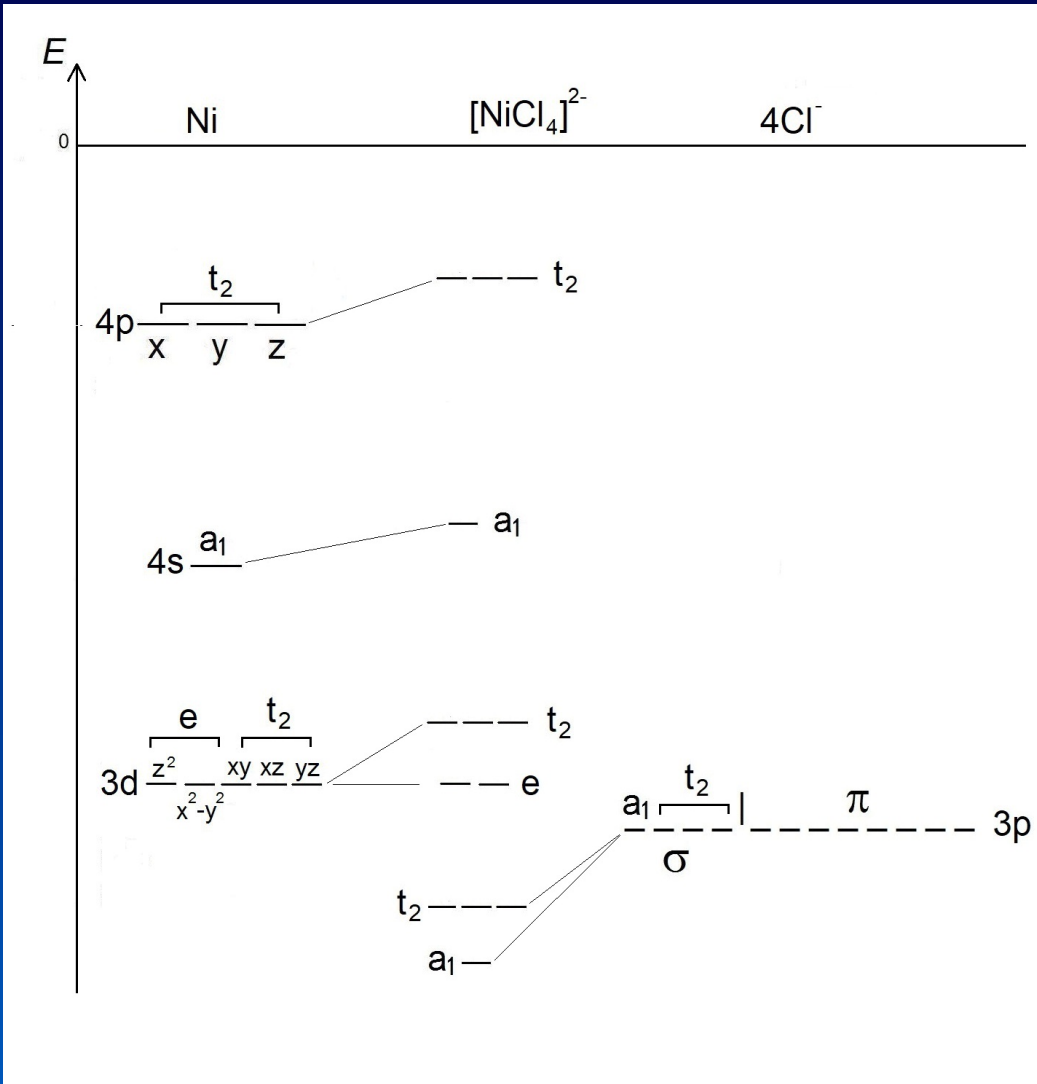
T_d	E	$8C_3$	$3C_2$	$6S_4$	$6\sigma_d$
A_1	1	1	1	1	1
A_2	1	1	1	-1	-1
E	2	-1	2	0	0
T_1	3	0	-1	1	-1
T_2	3	0	-1	-1	1

$$\overline{p\sigma(1,2,3,4) \ 4 \quad 1 \quad 0 \quad 0 \quad 2} \ A_1 + T_2$$

$[\text{NiCl}_4]^{2-}$ - T_d

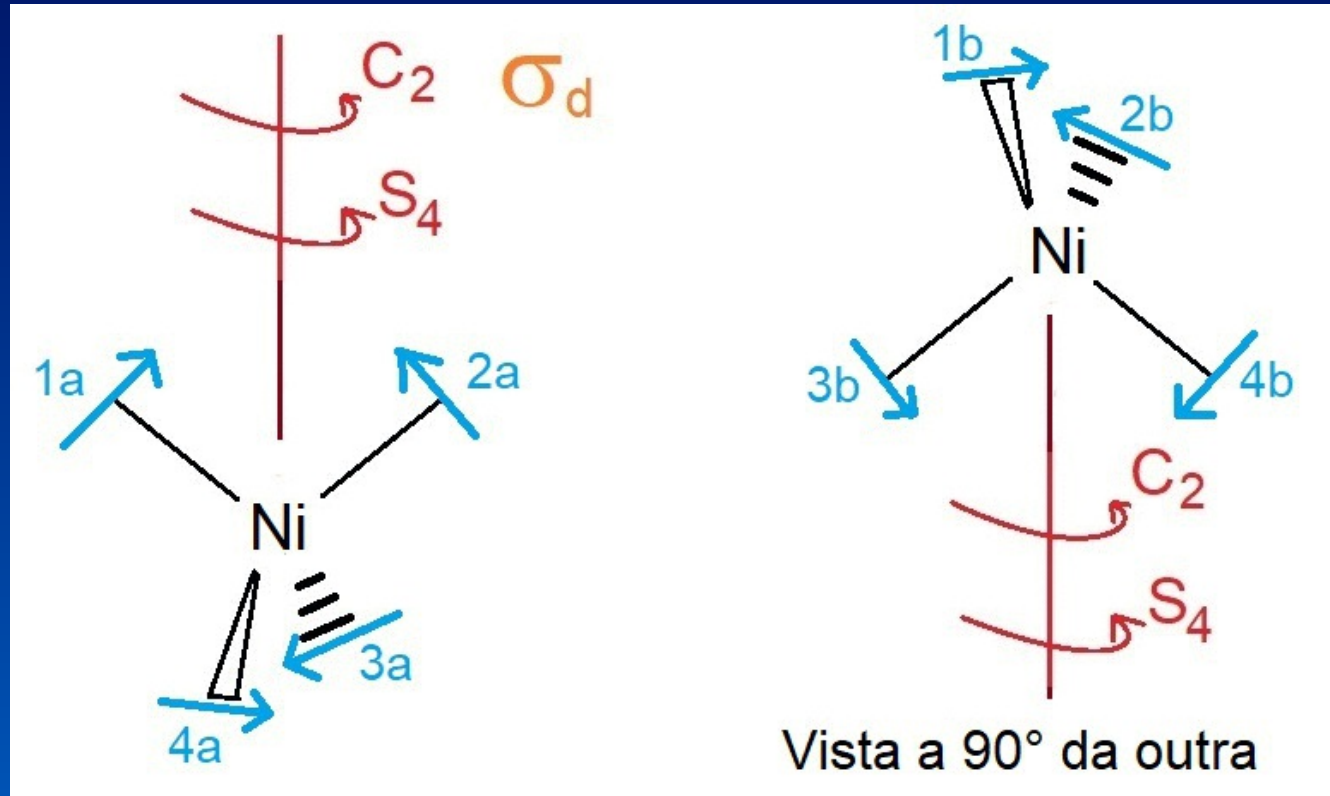
Diagrama de energia dos orbitais moleculares





$[\text{NiCl}_4]^{2-}$ - T_d

Classificando os orbitais $p\pi$ dos ligantes cloreto -INSEPARÁVEIS



$[\text{NiCl}_4]^{2-} - \text{T}_\text{d}$

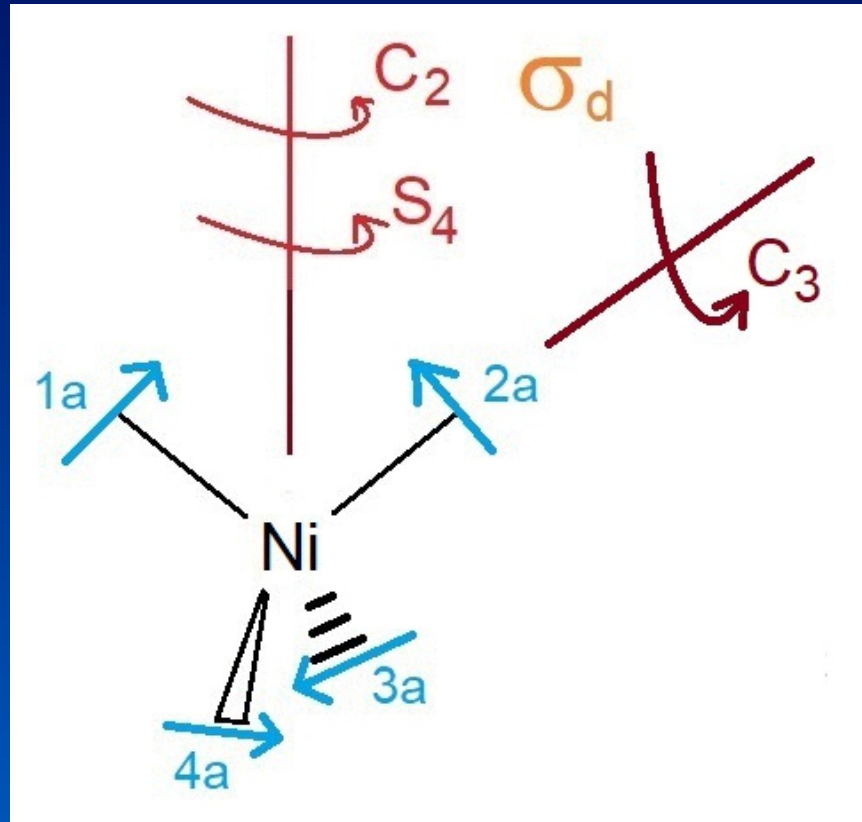
Classificando os orbitais $p\pi$ dos ligantes cloreto -INSEPARÁVEIS

T_d	E	8C_3	3C_2	6S_4	$6\sigma_\text{d}$
A_1	1	1	1	1	1
A_2	1	1	1	-1	-1
E	2	-1	2	0	0
T_1	3	0	-1	1	-1
T_2	3	0	-1	-1	1

$p\pi(1 \text{ a } 8)$	8	0	0	0
------------------------	---	---	---	---

$[\text{NiCl}_4]^{2-}$ - T_d

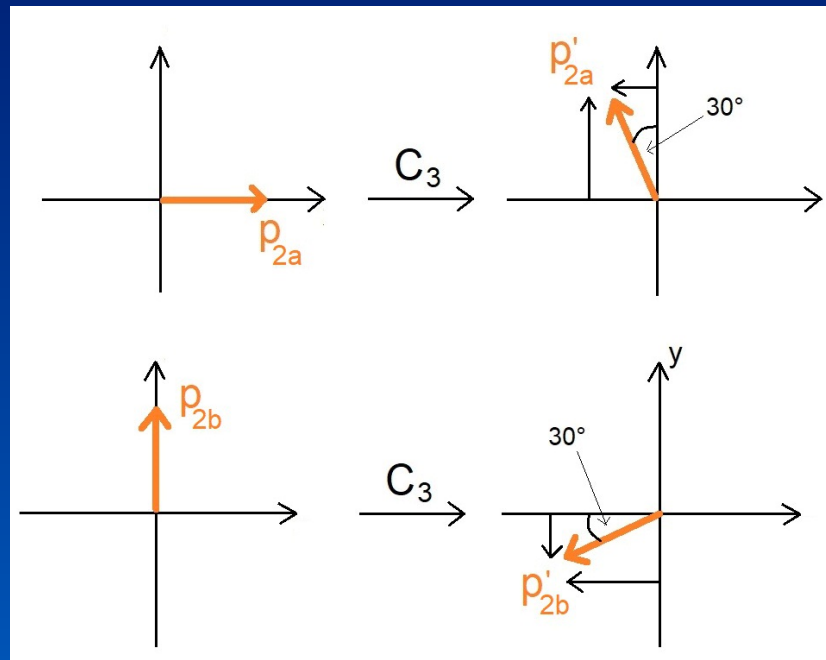
Classificando os orbitais $p\pi$ dos ligantes cloreto -INSEPARÁVEIS



$[\text{NiCl}_4]^{2-}$ - T_d

Os orbitais p_{2a} e p_{2b} do Cl são INSEPARÁVEIS

$$p_{2a}' = -p_{2a} \sin 30^\circ + p_{2b} \cos 30^\circ = (-1/2)p_{2a} + (\sqrt{3}/2)p_{2b}$$
$$p_{2b}' = -p_{2a} \cos 30^\circ - p_{2b} \sin 30^\circ = (-\sqrt{3}/2)p_{2a} + (-1/2)p_{2b}$$



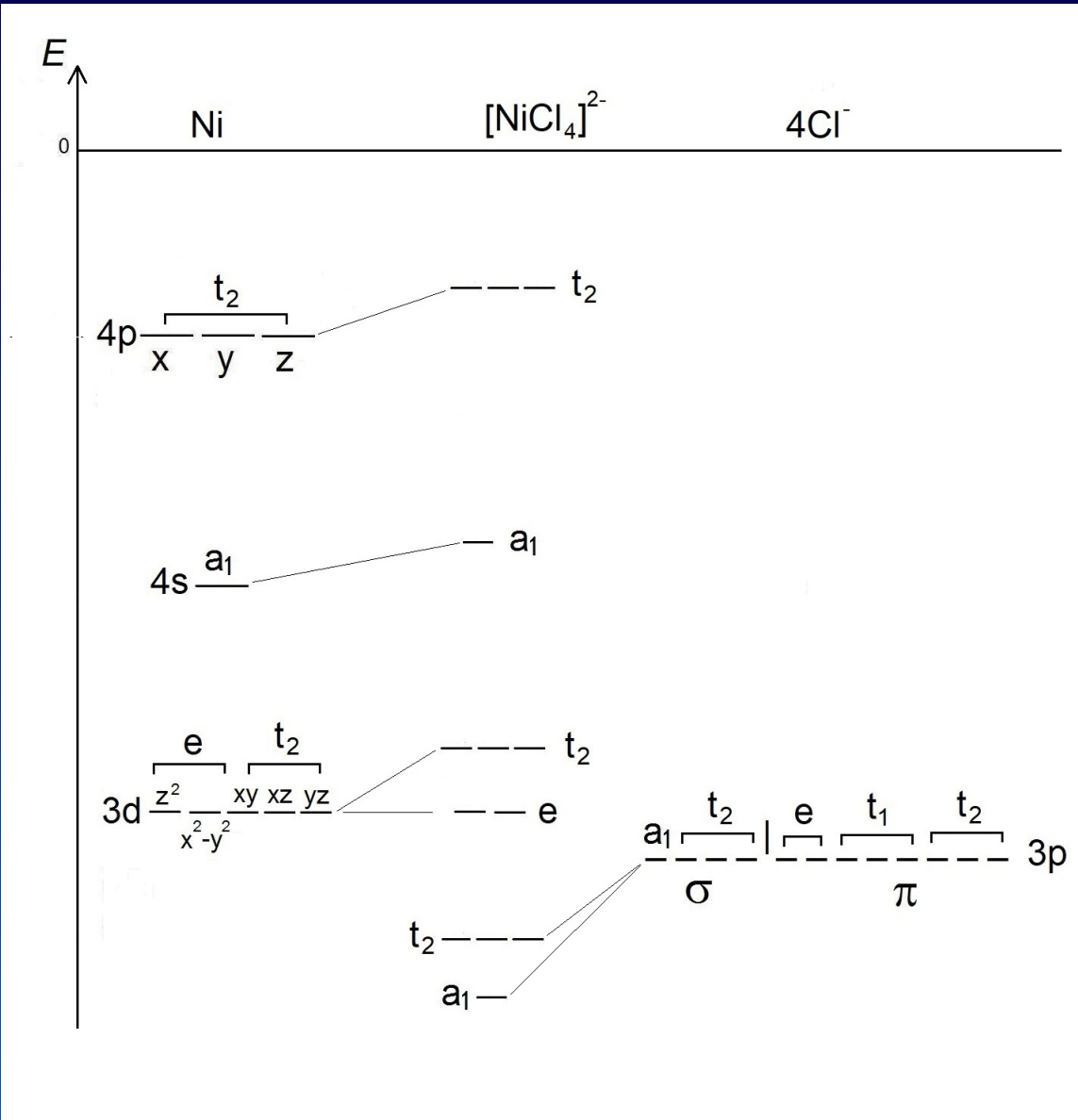
$[\text{NiCl}_4]^{2-} - \text{T}_d$

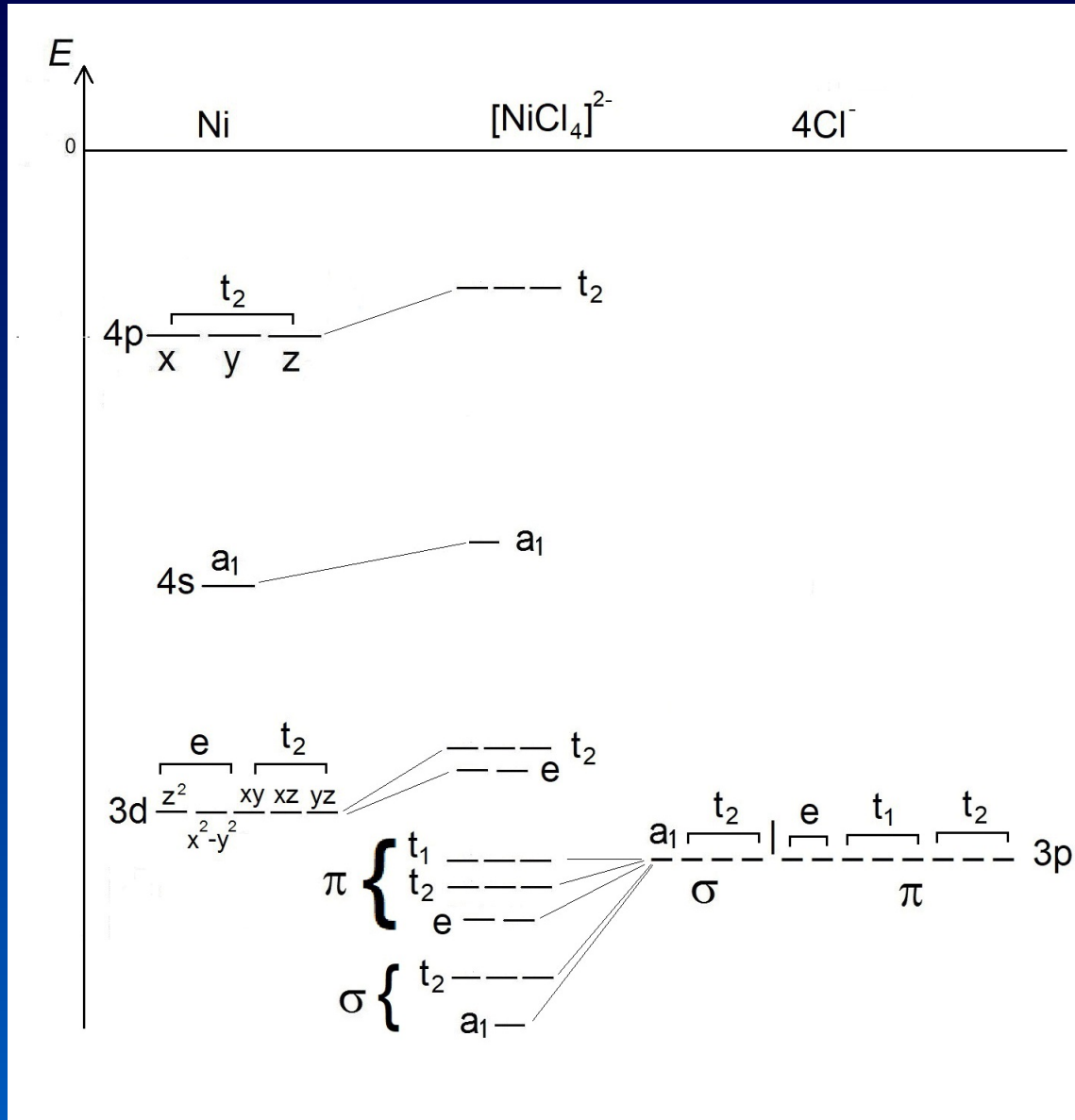
Os orbitais p_{2a} e p_{2b} do Cl são INSEPARÁVEIS

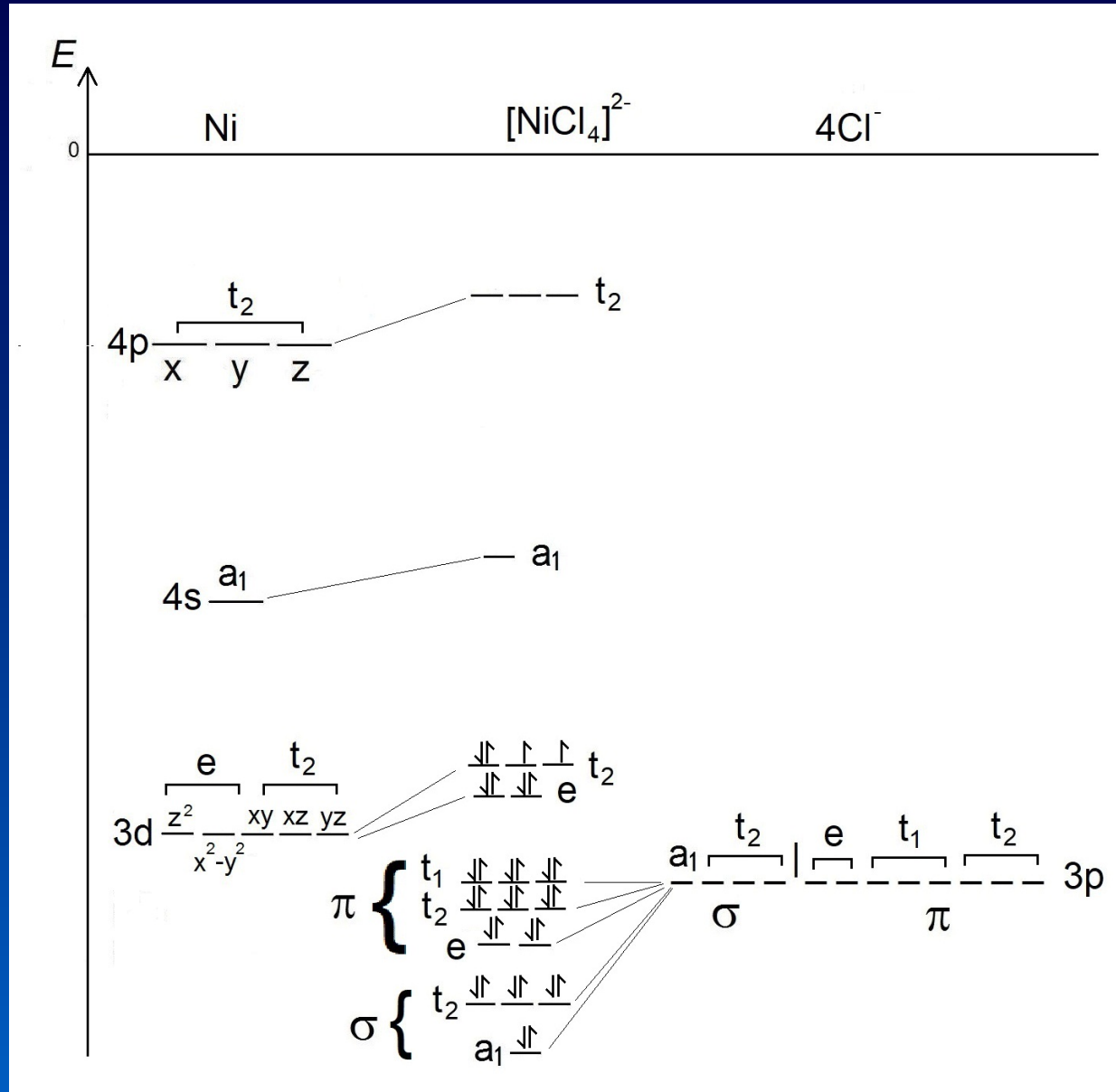
$$\begin{array}{ccccc} & 2p_{2a} & 2p_{2b} & & \\ \begin{matrix} 2p_{2a} \\ 2p_{2b} \end{matrix} & \begin{matrix} 1 \\ 0 \end{matrix} & \begin{matrix} 0 \\ 1 \end{matrix} & \xrightarrow{\quad C_3 \quad} & \begin{matrix} 2p_{2a}' \\ 2p_{2b}' \end{matrix} \begin{matrix} -1/2 \\ -\sqrt{3}/2 \end{matrix} \begin{matrix} \sqrt{3}/2 \\ -1/2 \end{matrix} \\ & & & & \chi = -1 \end{array}$$

T_d	E	$8C_3$	$3C_2$	$6S_4$	$6\sigma_d$
A_1	1	1	1	1	1
A_2	1	1	1	-1	-1
E	2	-1	2	0	0
T_1	3	0	-1	1	-1
T_2	3	0	-1	-1	1

$$\overline{p\pi(1\ a\ 8)\ 8\ -1\ 0\ 0\ 0}\ E + T_1 + T_2$$

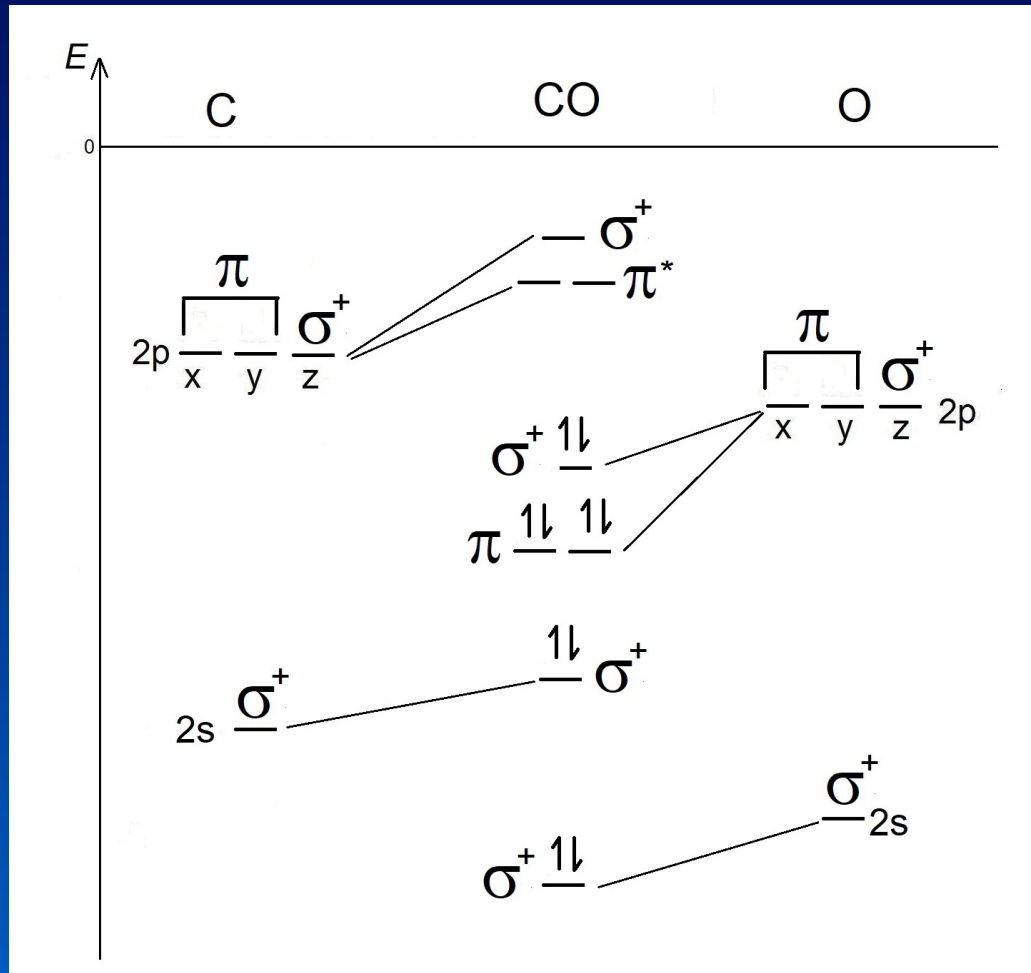




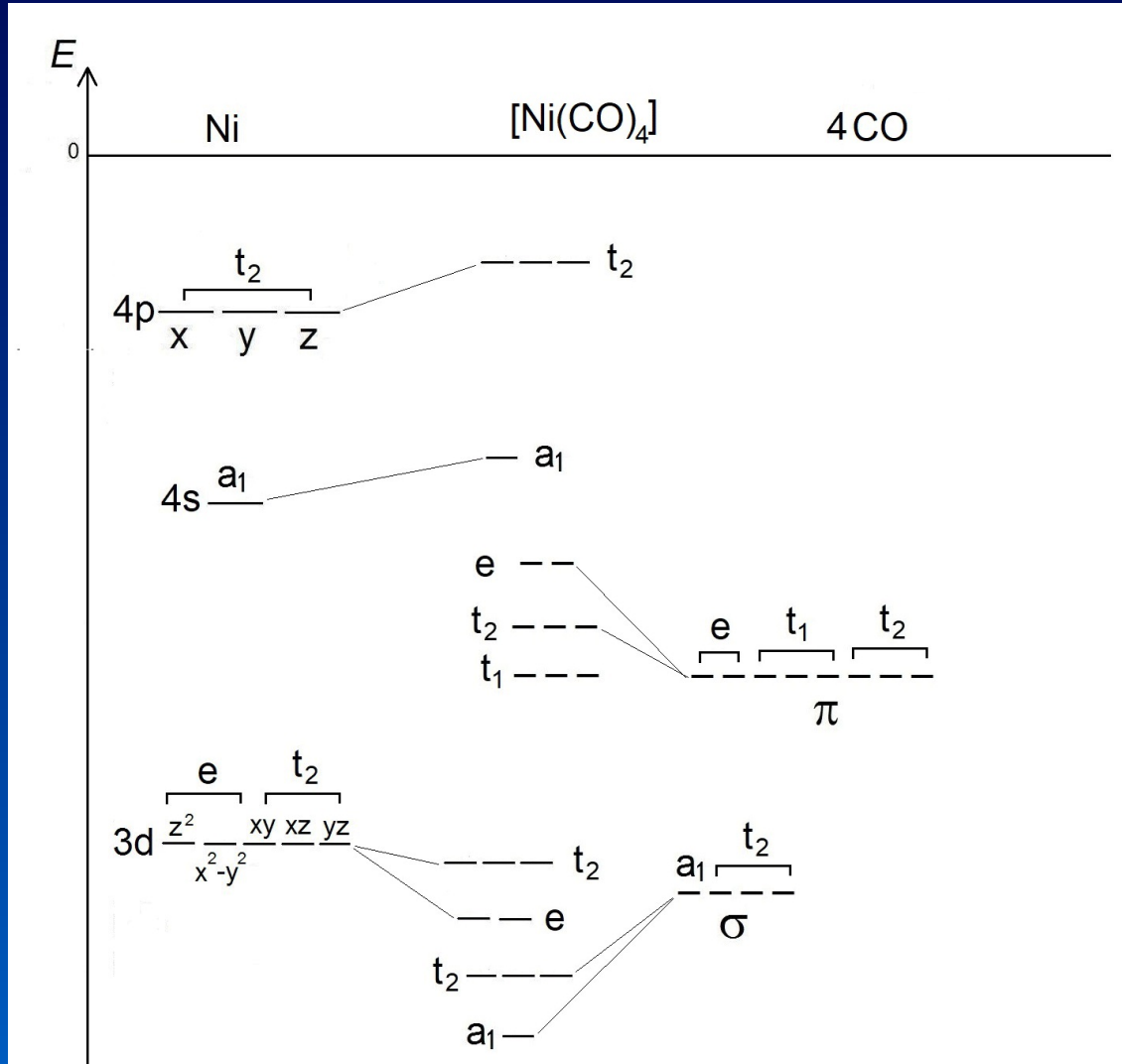


[Ni(CO)₄]- T_d

Diagrama de energia dos orbitais moleculares do CO

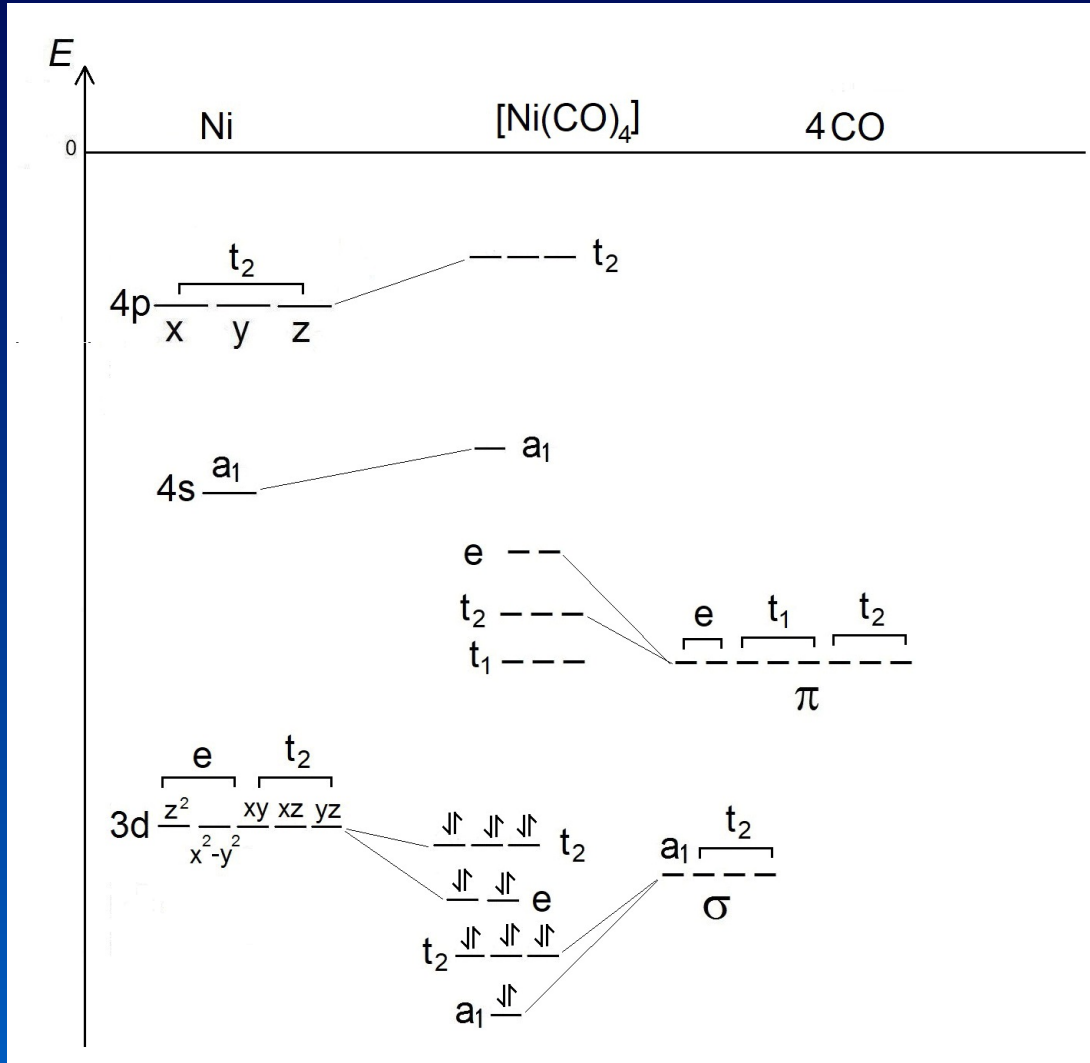


$[\text{Ni}(\text{CO})_4]$ - T_d



Aproveitando os resultados do $[\text{NiCl}_4]^{2-}$ T_d

[Ni(CO)₄]- T_d



FIM